

## บทที่ 4

### ผลการทดลอง

#### การแยกไขออกจากน้ำมันด้วยตัวทำละลาย

4.1 ผลการศึกษาสมบัติทางกายภาพของน้ำมันเตาไฟหนักและน้ำมันเตาไฟเบา ที่ใช้ในการศึกษาการแยกไข

ตารางที่ 4.1 สมบัติทางกายภาพของน้ำมันเตาไฟหนักและน้ำมันเตาไฟเบา

ชนิดน้ำมัน	น้ำมันเตาไฟหนัก	น้ำมันเตาไฟเบา
ความถ่วงจำเพาะ 60/60 °ฟ	0.893	0.856
จุดวาบไฟ °ซ	215	175
จุดไหลเท °ซ	33	26
สีของน้ำมัน ASTM	>8.0	L 6.5
ความหนืดคิเนมาติก		
ที่ 40 °ซ cSt	47.6	10.0
ที่ 100 °ซ cSt	6.7	8.7
ค่าดรรชนีความหนืด	91	112

4.2 ผลการศึกษาสภาวะที่เหมาะสมของตัวแปรต่าง ๆ ในการแยกไข

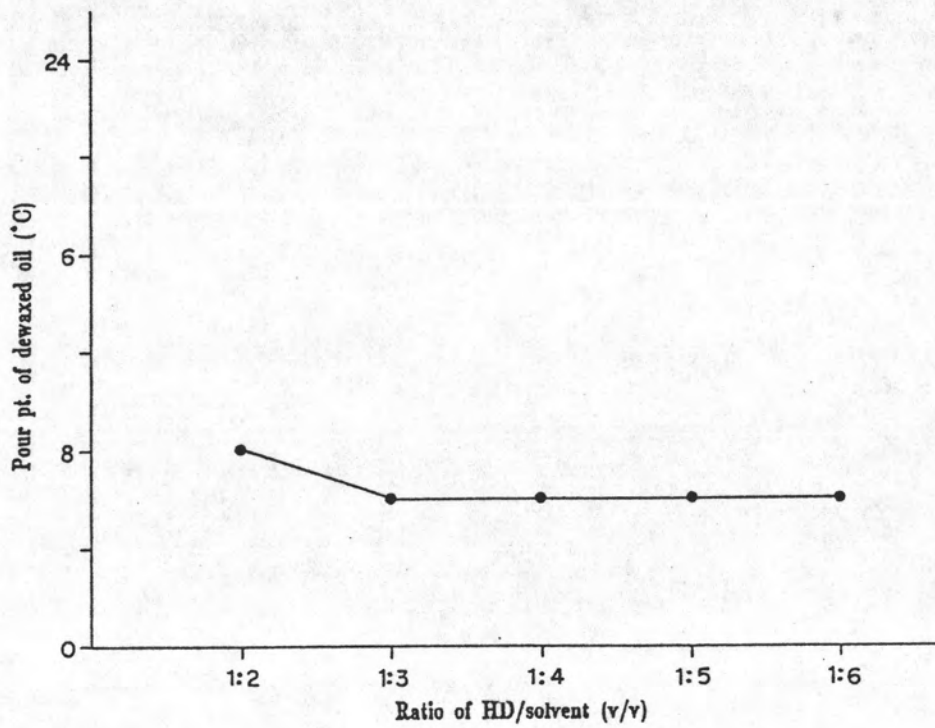
4.2.1 ผลการทดลองศึกษาผลกระทบและหาอัตราส่วนที่เหมาะสมของน้ำมันเตาไฟหนักต่อตัวทำละลายผสม โดยใช้อุณหภูมิตกผลึกไขที่  $-20^{\circ}\text{ซ}$  และใช้การตกผลึกไขครั้งเดียว โดยใช้อัตราส่วนของน้ำมันเตาไฟหนักต่อตัวทำละลายผสมในการทดลองเท่ากับ  $1/2$ ,  $1/3$ ,  $1/4$ ,  $1/5$

และ  $1/6$  โดยปริมาตร ผลการทดลองดังแสดงในตารางที่ ก.1 ความสัมพันธ์ระหว่างจุดไหลเทและปริมาณของน้ำมันที่เหลืออยู่ภายหลังผ่านการทดลองแยกไขกับอัตราส่วนของน้ำมันเตาใส่หนักต่อตัวทำละลายผสม แสดงในรูปที่ 4.1 และ 4.2 ตามลำดับ จากกราฟรูปที่ 4.1 และ 4.2 พบว่า ที่อัตราส่วนของน้ำมันเตาใส่หนักต่อตัวทำละลายผสมเท่ากับ  $1/3$  โดยปริมาตร จุดไหลเทของน้ำมันที่เหลืออยู่ภายหลังผ่านการทดลองแยกไขจะต่ำและเริ่มคงที่ ดังนั้นจึงเลือกอัตราที่เหมาะสมของน้ำมันเตาใส่หนักต่อตัวทำละลายผสมเป็น  $1/3$  โดยปริมาตร เพื่อใช้ในการศึกษาผลของตัวแปรอื่น ๆ ต่อไป ซึ่งที่อัตราส่วนนี้จะ ได้จุดไหลเทและปริมาณของน้ำมันที่เหลืออยู่ภายหลังผ่านการทดลองแยกไขมีค่า  $6^{\circ}\text{ซ}$  และ 63.3 เปอร์เซ็นต์โดยน้ำหนักตามลำดับ

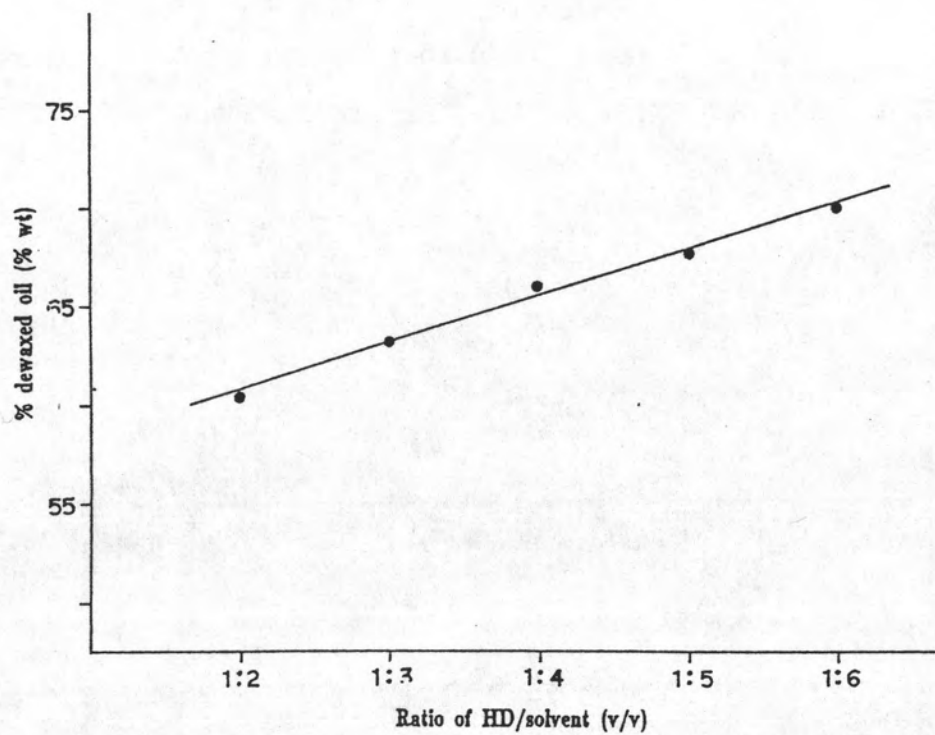
4.2.2 ผลการทดลองศึกษาผลกระทบและหาอุณหภูมิที่เหมาะสมในการตกผลึกแยกไข โดยใช้อัตราส่วนน้ำมันเตาใส่หนักต่อตัวทำละลายผสมเท่ากับ  $1/3$  โดยปริมาตร และใช้การตกผลึกไขครั้งเดียว ทำการทดลองตกผลึกไขที่อุณหภูมิ  $-20, -15, -10, -5, 0, 5^{\circ}\text{ซ}$  ผลการทดลองแสดงในตารางที่ ก.2 ความสัมพันธ์ระหว่างจุดไหลเทและปริมาณของน้ำมันที่เหลืออยู่ภายหลังผ่านการทดลองแยกไขกับอุณหภูมิการตกผลึกไข แสดงในรูปที่ 4.3 และ 4.4 ตามลำดับ จากผลการทดลองพบว่า อุณหภูมิของการตกผลึกไขที่เหมาะสม คือ  $-20^{\circ}\text{ซ}$  ซึ่งจะให้จุดไหลเทและปริมาณน้ำมันที่เหลืออยู่ภายหลังการทดลองแยกไขที่อุณหภูมินี้เท่ากับ  $6^{\circ}\text{ซ}$  และ 63.3 เปอร์เซ็นต์โดยน้ำหนักตามลำดับ

4.2.3 ผลการทดลองศึกษาผลกระทบและหาจำนวนครั้งของการตกผลึกไขที่เหมาะสม โดยใช้อัตราส่วนของน้ำมันเตาใส่หนักต่อตัวทำละลายผสมเท่ากับ  $1/3$  โดยปริมาตรและใช้อุณหภูมิตกผลึกไขที่  $-20^{\circ}\text{ซ}$  ผลการทดลองแสดงในตารางที่ ก.3 ความสัมพันธ์ระหว่างจุดไหลเทและปริมาณน้ำมันที่เหลืออยู่ภายหลังผ่านการทดลองแยกไขกับจำนวนครั้งของการตกผลึกไข แสดงในรูปที่ 4.5 และ 4.6 ตามลำดับ จากกราฟรูปที่ 4.5 และ 4.6 พบว่า การตกผลึกไขเพียงครั้งเดียวเป็นจุดที่เหมาะสมในการทำการแยกไขออกจากน้ำมันด้วยกระบวนการแยกไขที่ใช้ ซึ่งจะให้จุดไหลเทและปริมาณน้ำมันที่เหลืออยู่ภายหลังการทดลองแยกไขที่ค่าเท่ากับ  $6^{\circ}\text{ซ}$  และ 63.3 เปอร์เซ็นต์โดยน้ำหนัก

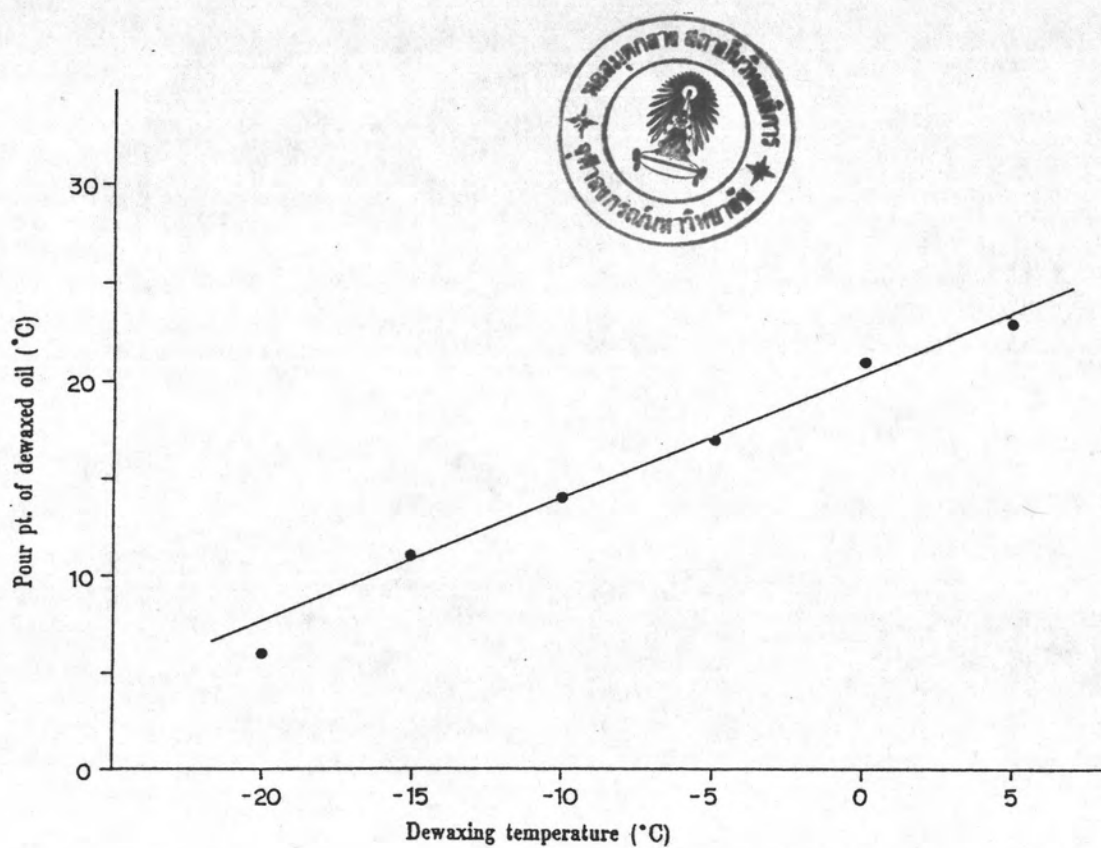
4.2.4 ผลการทดลองศึกษาการแยกไขน้ำมันเตาใส่หนักและน้ำมันเตาใส่เบาด้วยตัวทำละลายผสมภายใต้สภาวะที่เหมาะสม โดยใช้อุณหภูมิตกผลึกไขที่  $-20^{\circ}\text{ซ}$  อัตราส่วนของน้ำมันต่อตัวทำละลายผสมเท่ากับ  $1/3$  โดยปริมาตร ใช้การตกผลึกไขครั้งเดียว



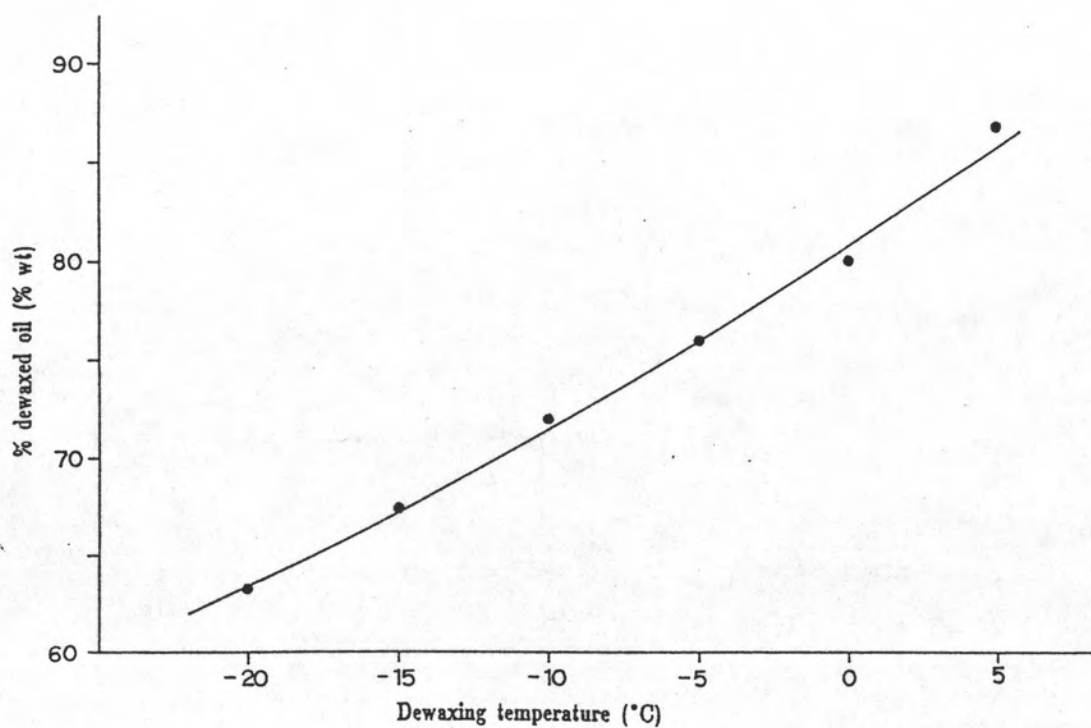
รูปที่ 4.1 ความสัมพันธ์ระหว่างจุดไหลเทของน้ำมันที่เหลืออยู่ภายหลังจากทดลองแยกไขกับ อัตราส่วนของน้ำมันเตาใสหนักต่อตัวทำละลายผสม



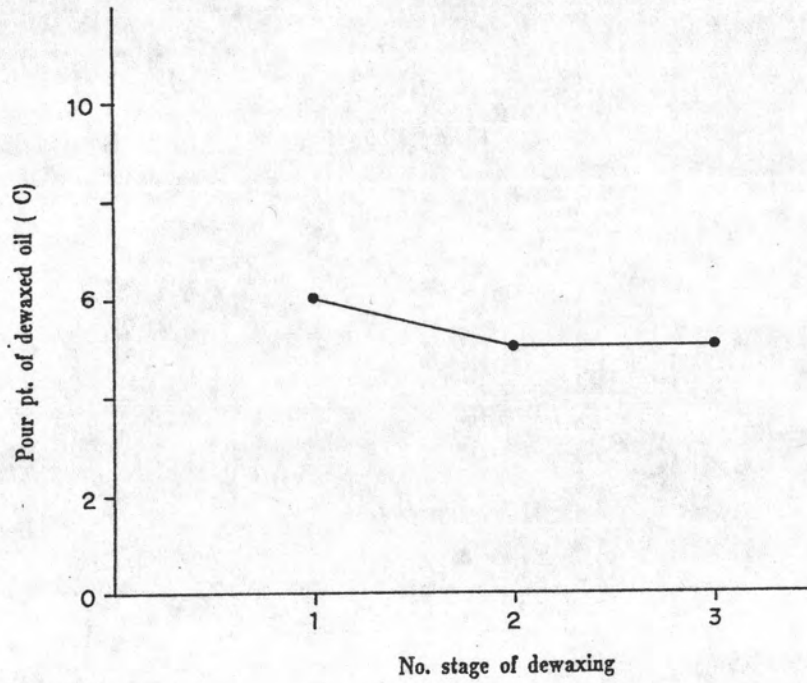
รูปที่ 4.2 ความสัมพันธ์ระหว่างปริมาณน้ำมันที่เหลืออยู่ภายหลังจากทดลองแยกไขกับ อัตราส่วนของน้ำมันเตาใสหนักต่อตัวทำละลายผสม



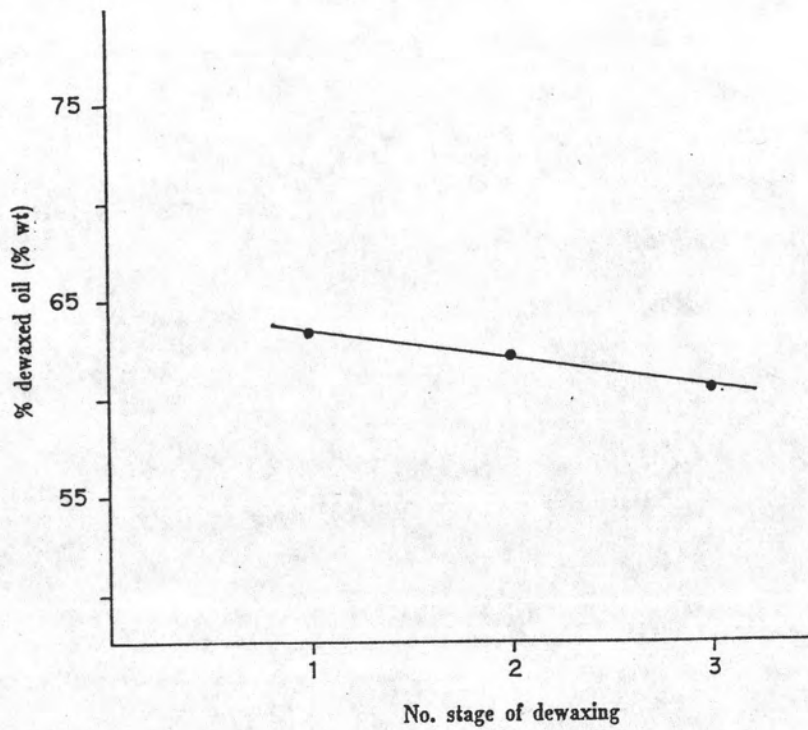
รูปที่ 4.3 ความสัมพันธ์ระหว่างจุดไหลเทของน้ำมันที่เหลืออยู่ภายหลังการทดลอง แยกไขกับ อุณหภูมิการตกผลึกไข



รูปที่ 4.4 ความสัมพันธ์ระหว่างปริมาณน้ำมันที่เหลืออยู่ภายหลังการทดลอง แยกไขกับ อุณหภูมิการตกผลึกไข



รูปที่ 4.5 ความสัมพันธ์ระหว่างจุดไหลเทของน้ำมันที่เหลืออยู่ภายหลังจากทดลองแยกไขกับ จำนวนครั้งของการตกผลึกไข



รูปที่ 4.6 ความสัมพันธ์ระหว่างปริมาณน้ำมันที่เหลืออยู่ภายหลังจากทดลองแยกไขกับ จำนวนครั้งของการตกผลึกไข

ตารางที่ 4.2 จุดไหลเทและปริมาณน้ำมันภายหลังจากการแยกไซ

ชนิดน้ำมัน	น้ำมันเตาใส่หนัก	น้ำมันเตาใส่เบา
จุดไหลเท °ซ	6	11
% น้ำมันภายหลังจากการแยกไซ (% โดยน้ำหนัก)	63.3	85.5

การสกัดน้ำมันด้วยตัวทำละลาย

4.3 ผลการศึกษาสมบัติทางกายภาพ และทางเคมีบางประการของน้ำมันเตาใส่หนัก และน้ำมันเตาใส่เบา ที่ใช้ในการศึกษาการสกัดน้ำมันด้วยตัวทำละลาย

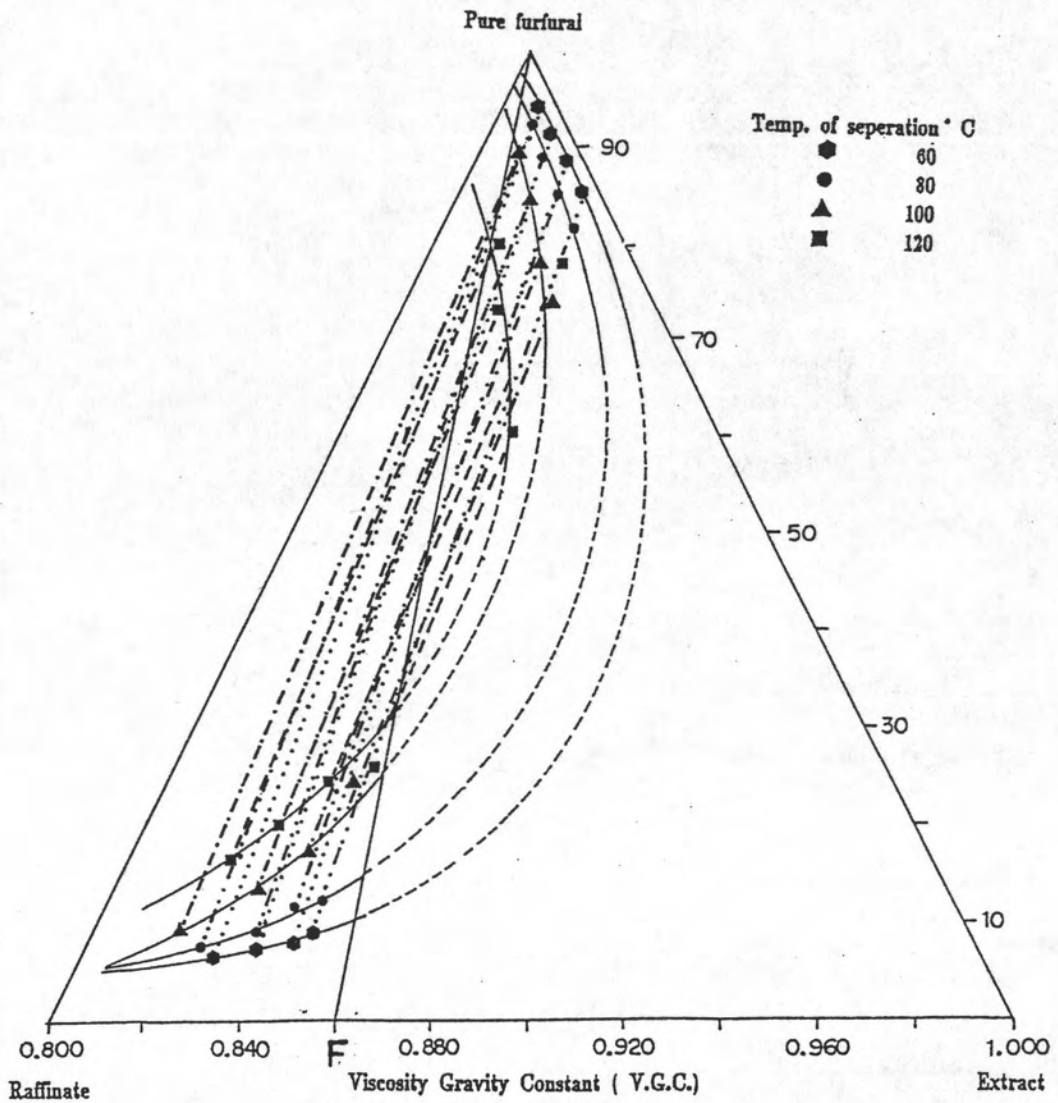
สมบัติทางกายภาพและทางเคมี ที่ศึกษามีดังนี้

- (1) ความถ่วงจำเพาะ
- (2) จุดวาบไฟ
- (3) จุดไหลเท
- (4) สีของน้ำมัน
- (5) ความหนืดคิเนมาติก
- (6) ค่าครรชนีความหนืด
- (7) ค่า V.G.C.
- (8) เปอร์เซนต์ สารประกอบที่ถูกออกซิไดส์
- (9) องค์ประกอบของน้ำมันในรูป %C<sub>A</sub>, %C<sub>P</sub>, และ %C<sub>N</sub>

ตารางที่ 4.3 สมบัติของน้ำมันเตาไฟหนักและน้ำมันเตาไฟเบา ที่ใช้ศึกษาการสกัดน้ำมันด้วยตัวทำละลาย

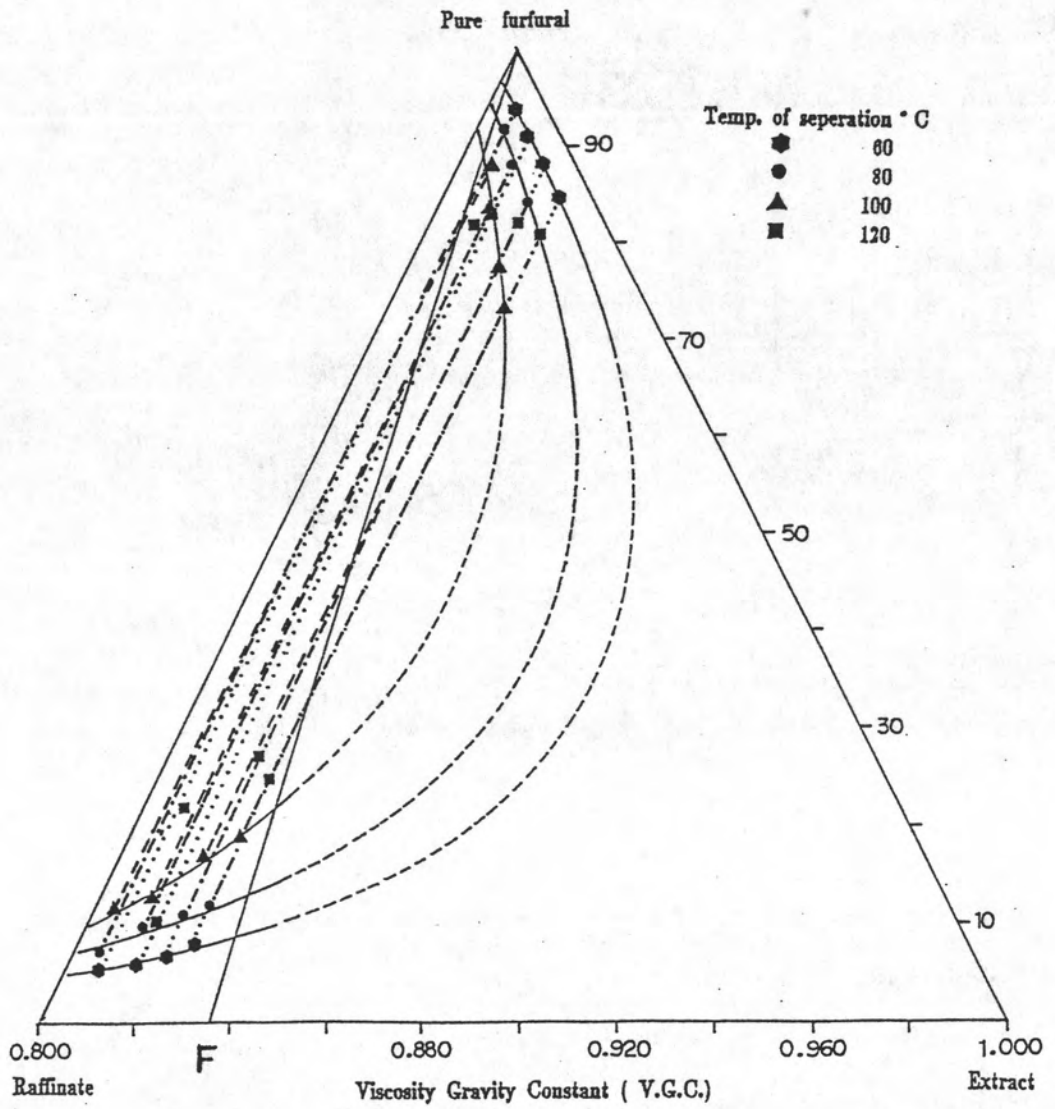
ชนิดน้ำมัน	น้ำมันเตาไฟหนัก	น้ำมันเตาไฟเบา
ความถ่วงจำเพาะ 60/60 °ฟ	0.913	0.870
จุดวาบไฟ °ซ	215	180
จุดไหลเท °ซ	9	13
สีของน้ำมัน ASTM	>8.0	>8.0
ความหนืดคิเนมาติก		
ที่ 40 °ซ cSt	95.50	10.84
ที่ 100 °ซ cSt	9.03	2.75
ค่าดัชนีความหนืด	58	90
% สารประกอบที่ถูกออกซิเดชัน (% โดยน้ำหนัก)	7.78	1.56
องค์ประกอบของน้ำมัน		
% C <sub>A</sub>	10.3	11.6
% C <sub>P</sub>	47.6	71.0
% C <sub>N</sub>	42.1	17.4
ค่า V.G.C.	0.860	0.836

4.4 ผลการศึกษาสมดุลของการสกัดน้ำมันด้วยตัวทำละลายที่อุณหภูมิ 60, 80, 100 และ 120 °ซ ในรูปแบบการสกัดแบบไม่ต่อเนื่องขั้นตอนเดียว โดยใช้อัตราส่วนระหว่างน้ำมันกับตัวทำละลายในช่วง 65/35 ถึง 15/85 ข้อมูลการทดลองแสดงในตารางที่ ก.4 และตารางที่ ก.5 รูปที่ 4.7 แสดงแผนภาพสามเหลี่ยมแสดงสมดุล (triangular equilibrium diagram) ของการสกัดน้ำมันเตาไฟหนักด้วย furfural ที่อุณหภูมิ 60, 80, 100 และ 120 °ซ รูปที่ 4.8 แสดงแผนภาพสามเหลี่ยมแสดงสมดุลของการสกัดน้ำมันเตาไฟเบาด้วย furfural ที่อุณหภูมิ 60, 80,



รูปที่ 4.7 แผนภาพสามเหลี่ยมแสดงสมดุลของการสกัดน้ำมันเตาใสหนักด้วย furfural ที่อุณหภูมิ 60 , 80 , 100 และ 120 °ซ.





รูปที่ 4.8 แผนภาพสามเหลี่ยมแสดงสมดุลของการสกัดน้ำมันเตาใส่เบาดด้วย furfural ที่อุณหภูมิ 60 , 80 , 100 และ 120 °ซ.

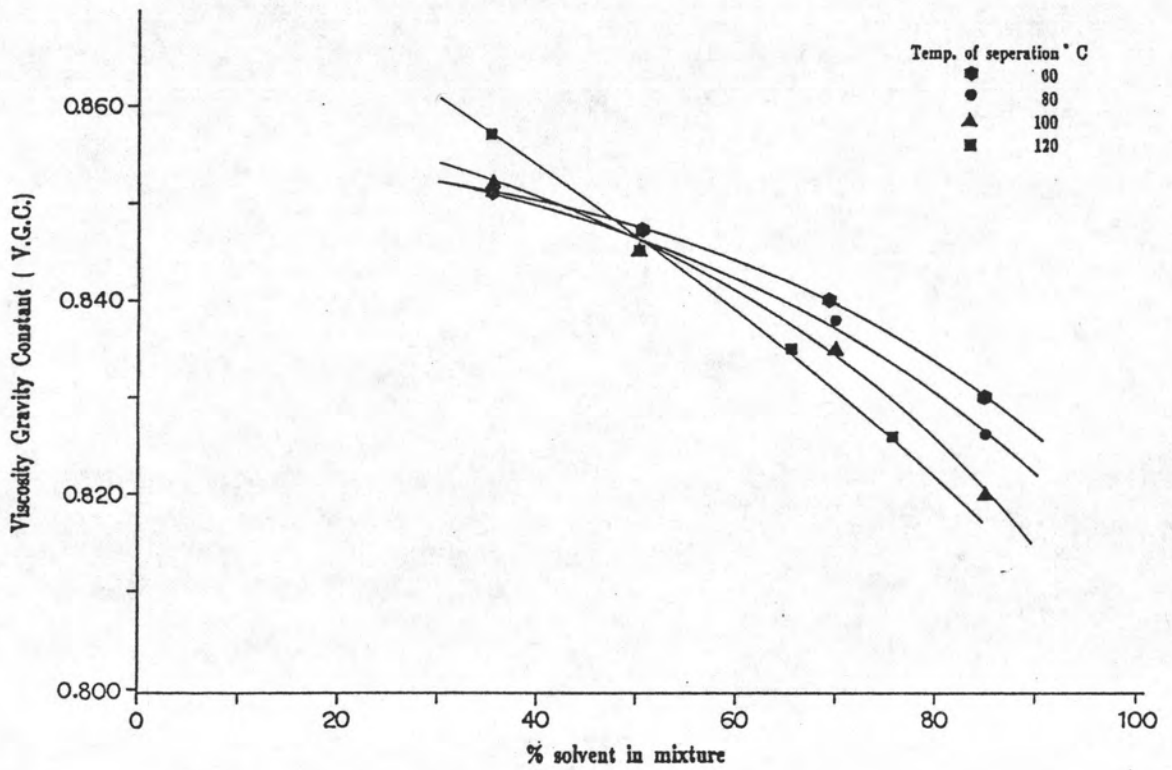
100 และ 120 °C โดยที่แต่ละมุมของสามเหลี่ยมจะแทนด้วยปริมาณของ furfural และ ค่า V.G.C. ของน้ำมันในเฟสราฟิเนต (raffinate oil) และ เฟสเอ็กซ์แทรกต์ (extract oil) จุดสองจุดที่ปลายเส้นผูก (tie line) จะแสดงลักษณะของของเหลวในแต่ละเฟสในสภาวะสมดุล ที่อัตราส่วนระหว่างน้ำมันกับตัวทำละลายหนึ่งที่อุณหภูมินั้น ๆ ส่วนจุด f จะแสดงจุดค่า V.G.C. ของน้ำมันเริ่มต้น ซึ่งถ้าลากเส้นโค้งผ่านจุดสมดุลของแต่ละเฟสเหล่านี้จะได้ เส้นโค้งสมดุล (equilibrium curve) ที่อุณหภูมินั้น ๆ

#### 4.5 ผลการศึกษาอิทธิพลของตัวแปรที่มีผลต่อประสิทธิภาพการสกัดน้ำมันด้วยตัวทำละลาย

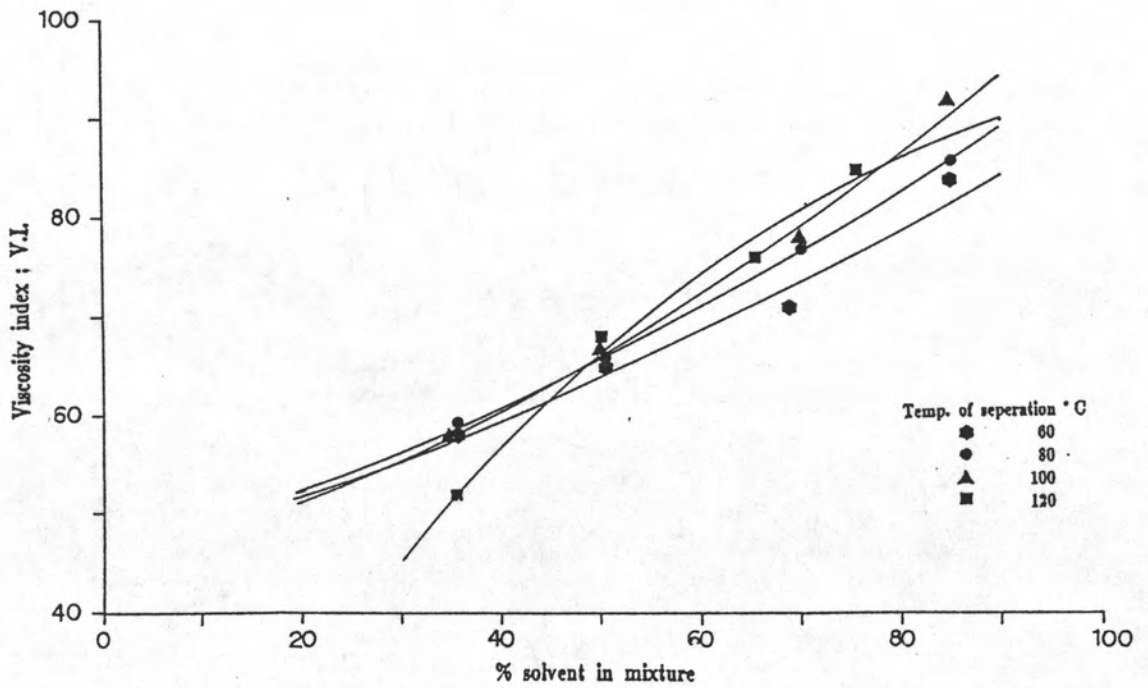
4.5.1 ผลการทดลองศึกษาผลกระทบของอุณหภูมิการสกัดและปริมาณของตัวทำละลาย ต่อสมบัติของน้ำมันภายหลังการสกัด โดยที่สมบัติของน้ำมันที่นำมาพิจารณาได้แก่ ค่า V.G.C. ค่าดัชนีความหนืด (viscosity index ; V.I.) และองค์ประกอบของน้ำมันในรูป %  $C_A$  ซึ่งแสดงในรูปที่ 4.9, 4.10 และ 4.11 สำหรับน้ำมันเตาไฟหนัก และรูปที่ 4.12, 4.13 และ 4.14 สำหรับน้ำมันเตาไฟเบา

4.5.2 ผลการทดลองศึกษาผลกระทบของอุณหภูมิการสกัดและปริมาณของตัวทำละลาย ต่อปริมาณของน้ำมันภายหลังการสกัด รูปที่ 4.15 และ 4.16 แสดงความสัมพันธ์ของอุณหภูมิการสกัดและปริมาณตัวทำละลายกับปริมาณของน้ำมันที่เหลือภายหลังการสกัดของน้ำมันเตาไฟหนักและน้ำมันเตาไฟเบาตามลำดับ รูปที่ 4.17 และ 4.18 เป็นการพิจารณาอิทธิพลของอุณหภูมิการสกัด ต่อปริมาณของน้ำมันที่เหลือภายหลังการสกัด โดยมีสมบัติของน้ำมันเข้ามาเกี่ยวข้อง

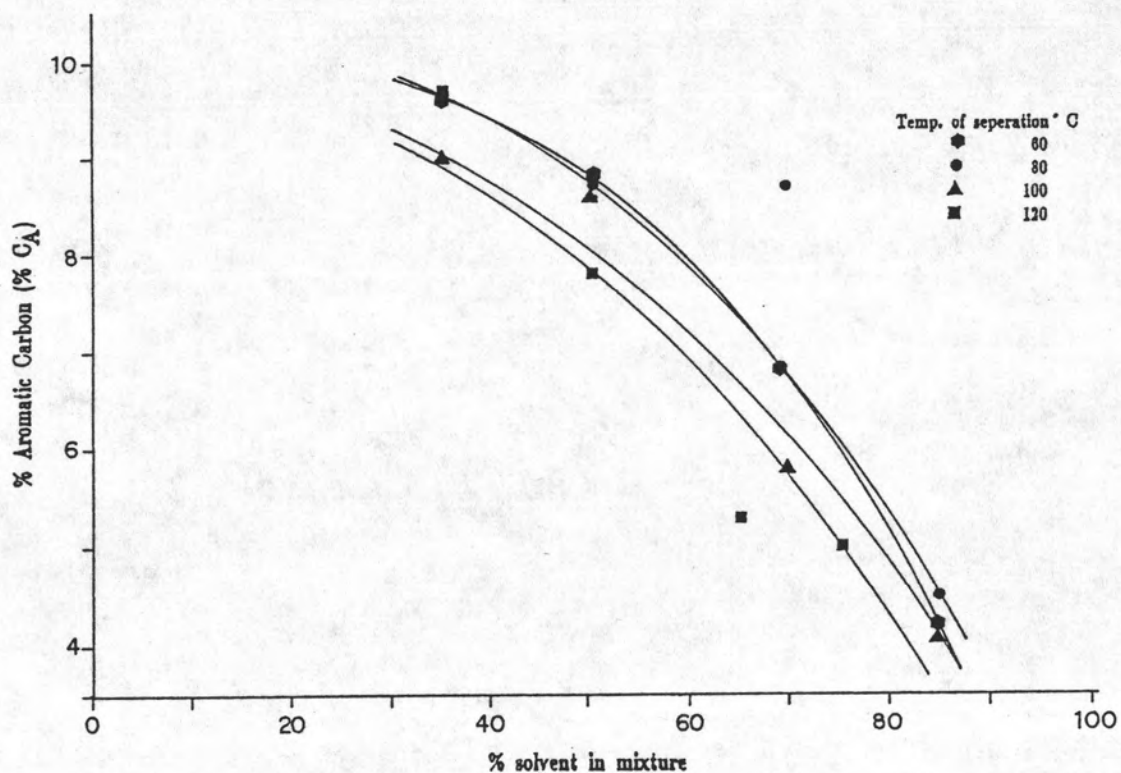
4.5.3 ผลการทดลองศึกษาอิทธิพลของตัวแปรอุณหภูมิของสมดุลการสกัด และอัตราส่วนระหว่างน้ำมันกับตัวทำละลาย ที่มีผลต่อประสิทธิภาพการสกัดน้ำมันด้วย furfural แสดงในรูปที่ 4.19 สำหรับน้ำมันเตาไฟหนัก และรูปที่ 4.20 สำหรับน้ำมันเตาไฟเบา



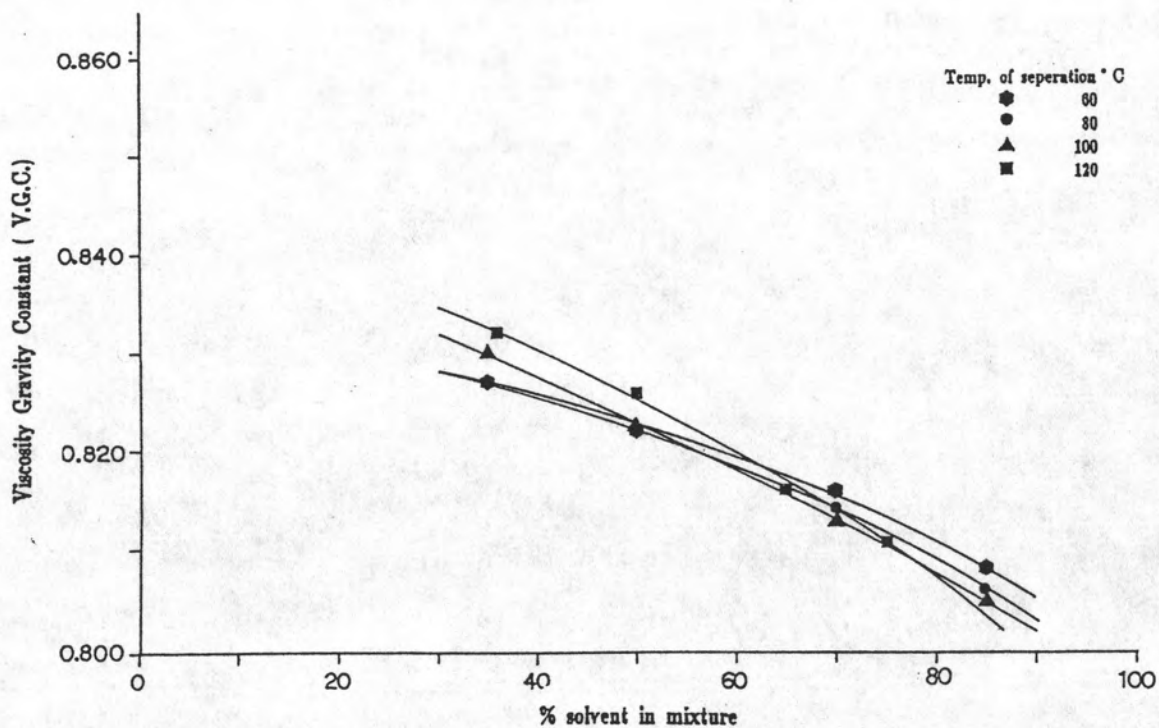
รูปที่ 4.9 ความสัมพันธ์ระหว่างอุณหภูมิการสกัดและปริมาณตัวทำละลายกับค่า V.G.C. ของน้ำมันเตาใส่หนักภายหลังการสกัด



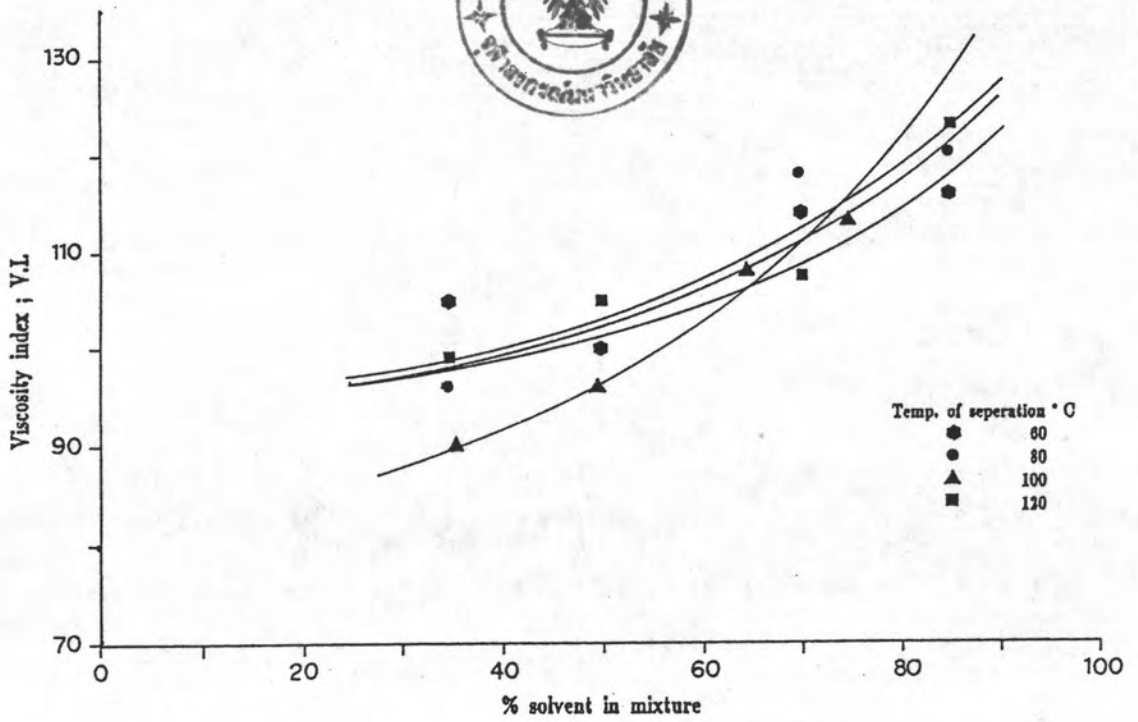
รูปที่ 4.10 ความสัมพันธ์ระหว่างอุณหภูมิการสกัดและปริมาณตัวทำละลายกับค่าดัชนีความหนืดของน้ำมันเตาใส่หนักภายหลังการสกัด



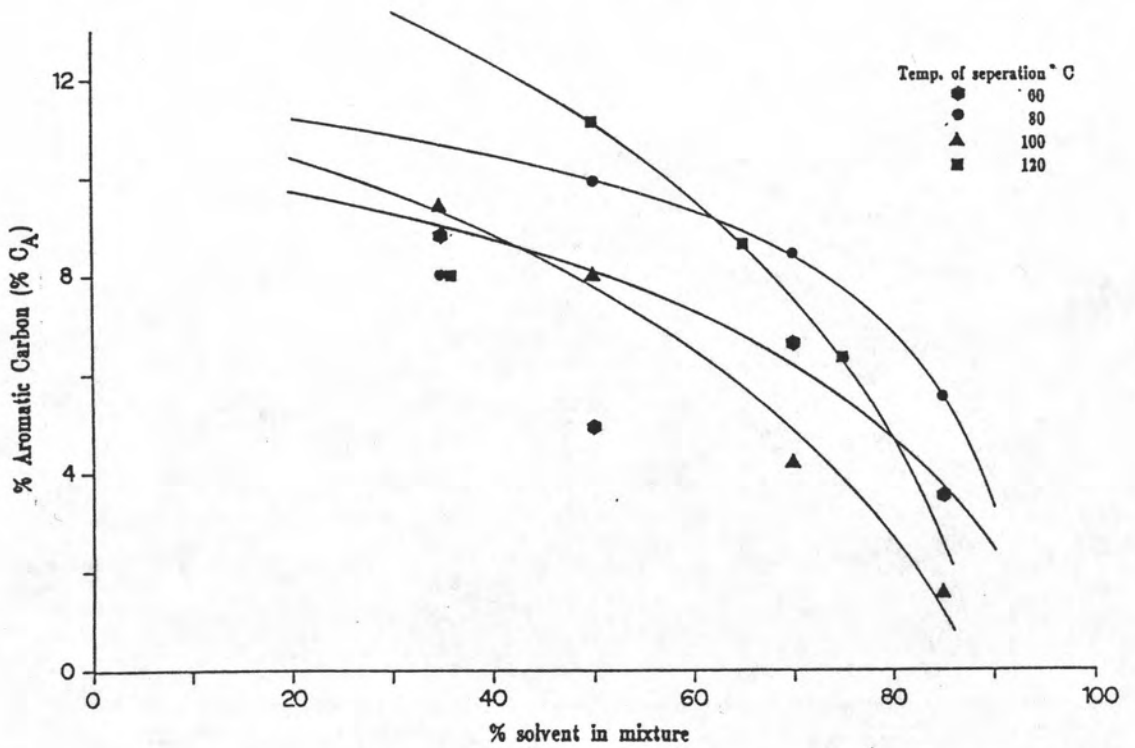
รูปที่ 4.11 ความสัมพันธ์ระหว่างอุณหภูมิการสกัดและปริมาณตัวทำละลายกับองค์ประกอบของน้ำมันในรูป %C<sub>A</sub> ของน้ำมันเตาใส่หนักภายหลังการสกัด



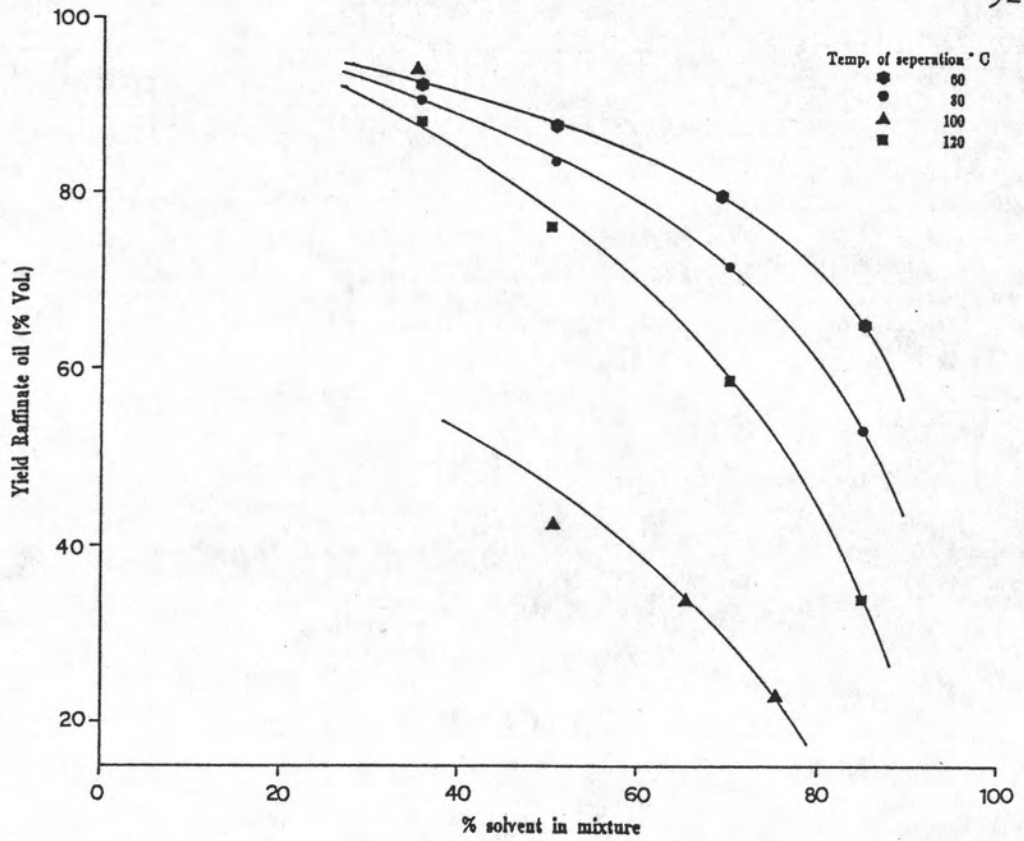
รูปที่ 4.12 ความสัมพันธ์ระหว่างอุณหภูมิการสกัดและปริมาณตัวทำละลายกับค่า V.G.C. ของน้ำมันเตาใส่เบาภายหลังการสกัด



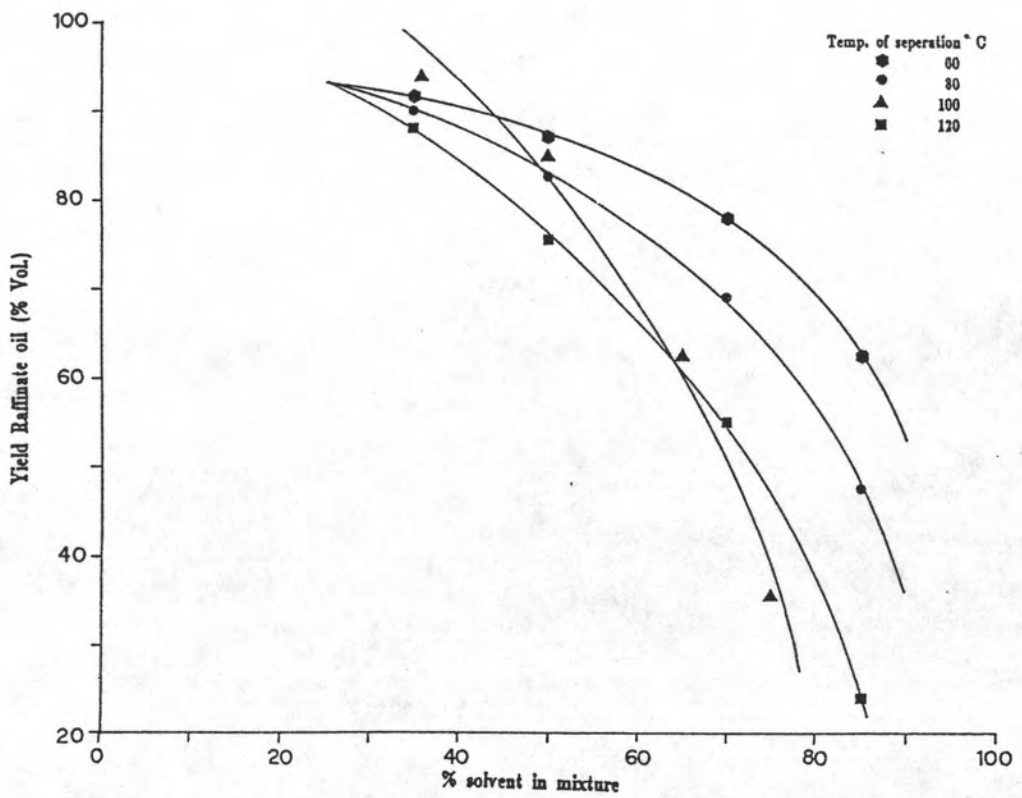
รูปที่ 4.13 ความสัมพันธ์ระหว่างอุณหภูมิการสกัดและปริมาณตัวทำละลายกับค่าดัชนีความหนืดของน้ำมันเตาไฮเบาภายหลังจากการสกัด



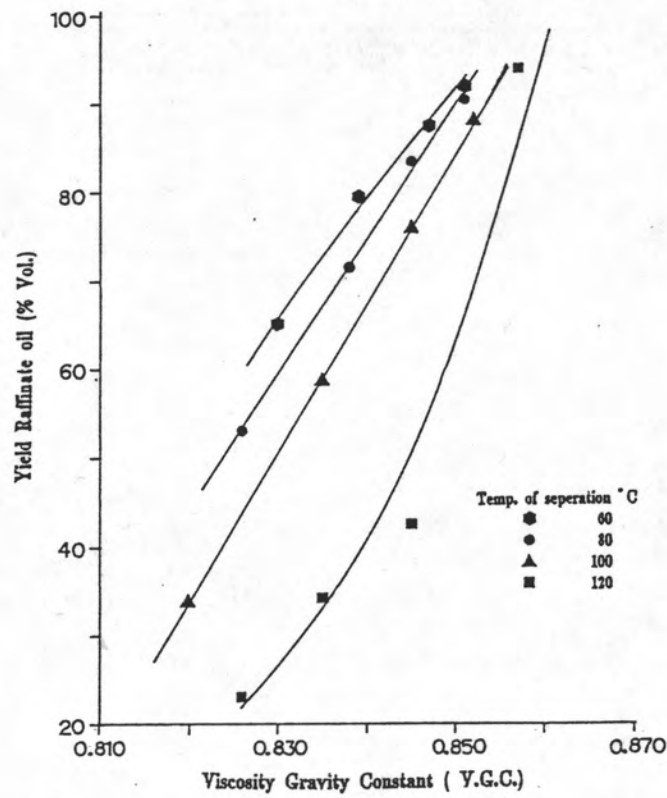
รูปที่ 4.14 ความสัมพันธ์ระหว่างอุณหภูมิการสกัดและปริมาณตัวทำละลายกับองค์ประกอบของน้ำมันในรูป %C<sub>A</sub> ของน้ำมันเตาไฮเบาภายหลังจากการสกัด



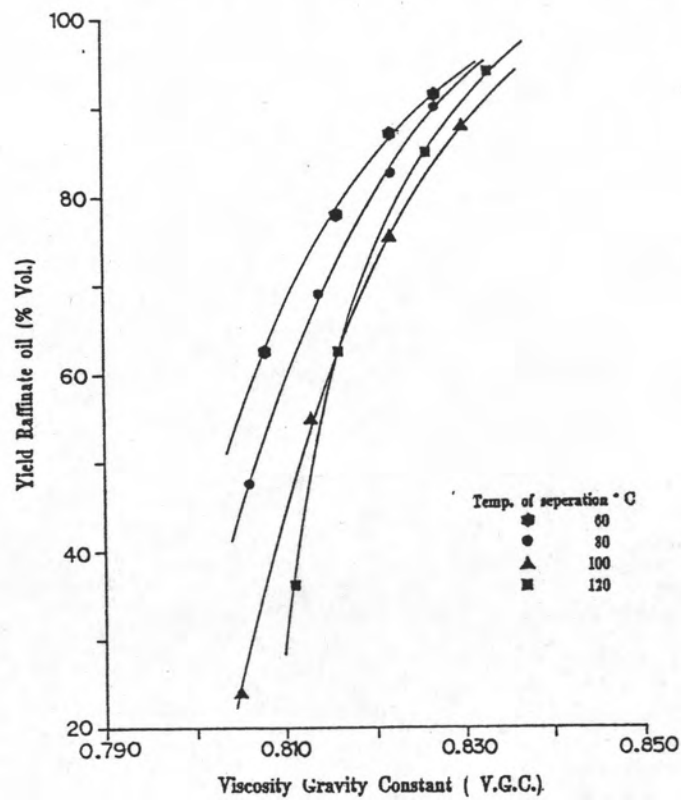
รูปที่ 4.15 ความสัมพันธ์ระหว่างอุณหภูมิการสกัดและปริมาณตัวทำละลายกับปริมาณของน้ำมันที่เหลือภายหลังการสกัดของน้ำมันเตาใส่หมัก



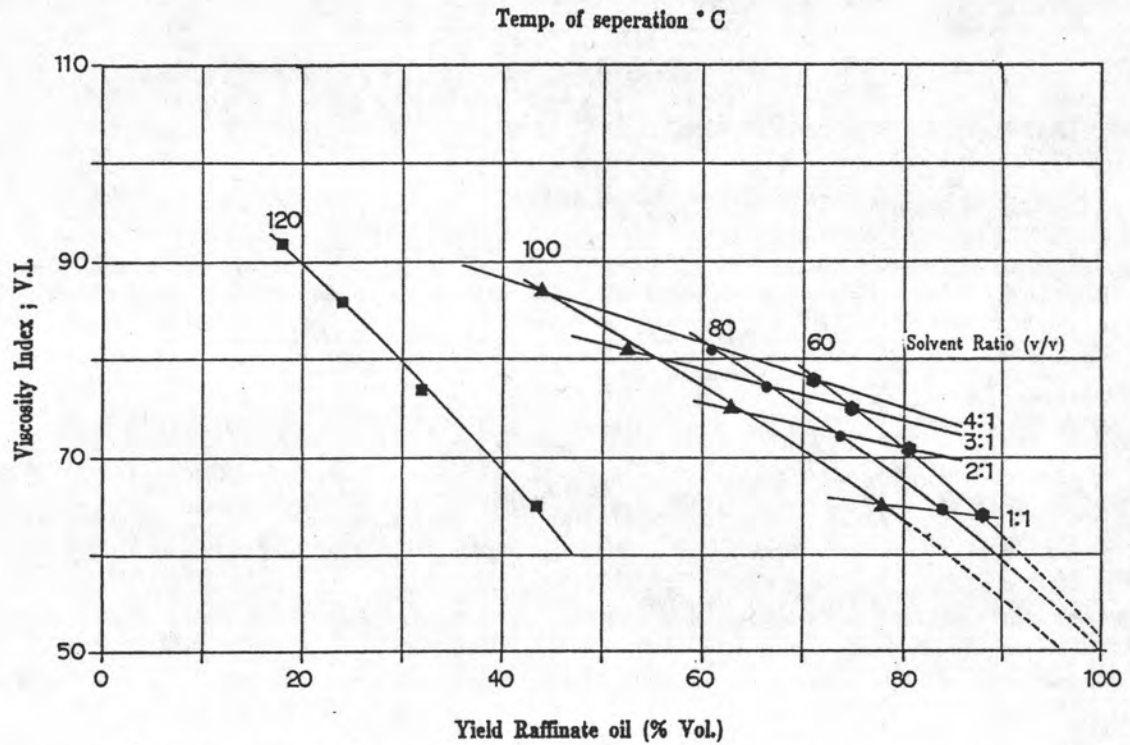
รูปที่ 4.16 ความสัมพันธ์ระหว่างอุณหภูมิการสกัดและปริมาณตัวทำละลายกับปริมาณของน้ำมันที่เหลือภายหลังการสกัดของน้ำมันเตาใส่เบา



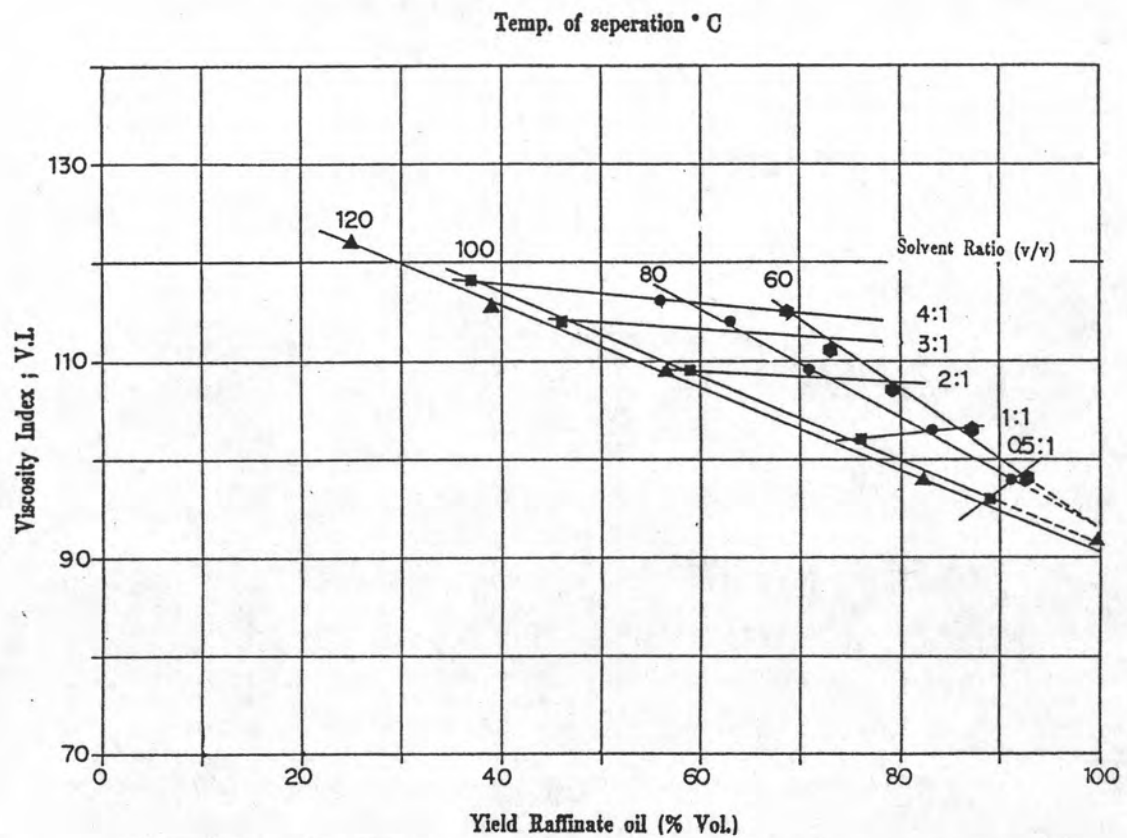
รูปที่ 4.17 ความสัมพันธ์ระหว่าง ค่า V.G.C. กับปริมาณของน้ำมันเตาไลหนัก ภายหลังจากการสกัดที่อุณหภูมิการสกัด 60 , 80 , 100 และ 120 °ซ.



รูปที่ 4.18 ความสัมพันธ์ระหว่าง ค่า V.G.C. กับปริมาณของน้ำมันเตาไลเบา ภายหลังจากการสกัดที่อุณหภูมิการสกัด 60 , 80 , 100 และ 120 °ซ.



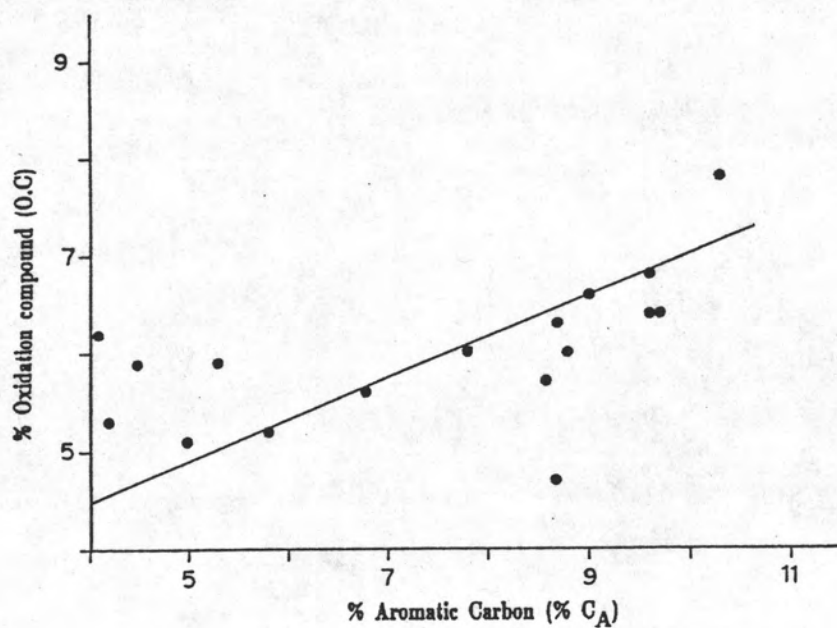
รูปที่ 4.19 แสดงอิทธิพลของตัวแปรอุณหภูมิของสมดุลการสกัด และอัตราส่วนระหว่างน้ำมันกับตัวทำละลาย ที่มีผลต่อประสิทธิภาพการสกัดน้ำมันเตาใส่หนักด้วย furfural



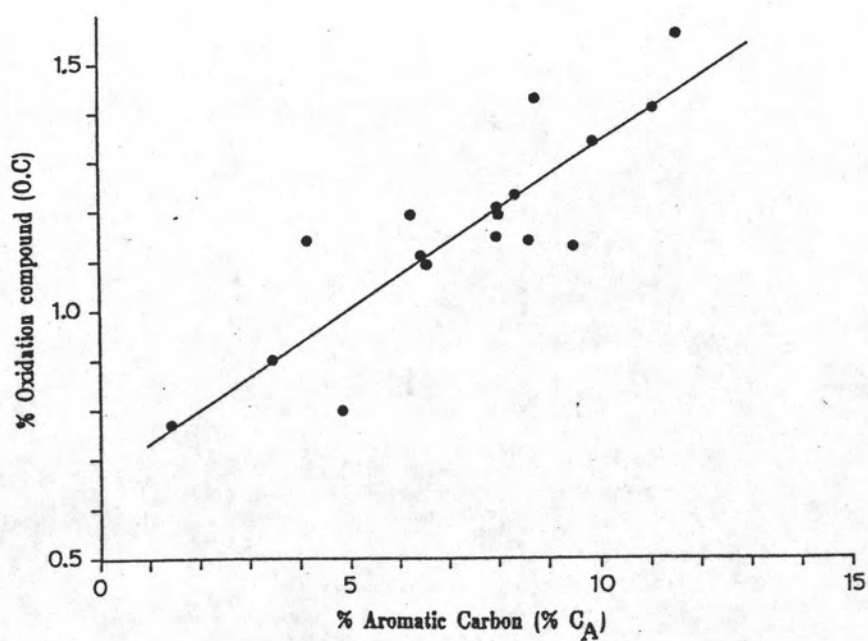
รูปที่ 4.20 แสดงอิทธิพลของตัวแปรอุณหภูมิของสมดุลการสกัด และอัตราส่วนระหว่างน้ำมันกับตัวทำละลาย ที่มีผลต่อประสิทธิภาพการสกัดน้ำมันเตาใส่เบาด้วย furfural



4.6 ผลการทดลองศึกษาความสัมพันธ์ระหว่างองค์ประกอบของน้ำมันในรูป  $\%C_A$  กับเปอร์เซ็นต์ของสารประกอบที่ถูกออกซิไดส์ (O.C.) ของน้ำมันเตาไฟหนักและน้ำมันเตาไฟเบาภายหลังการสกัดด้วยตัวทำละลาย แสดงในรูปที่ 4.21 และ 4.22 ตามลำดับ ส่วนผลการวิเคราะห์สมบัติเสถียรต่อการออกซิไดส์ของน้ำมันเตาไฟหนักและน้ำมันเตาไฟเบาภายหลังการสกัดด้วยตัวทำละลาย โดยวิธี TG ดังแสดงในตารางที่ ก.8 และตารางที่ ก.9 ตามลำดับ



รูปที่ 4.21 ความสัมพันธ์ระหว่างองค์ประกอบของน้ำมันในรูป  $\%C_A$  กับ เปอร์เซ็นต์ของสารประกอบที่ถูกออกซิไดส์ (O.C.) ของ น้ำมันเตาใส่หมักภายหลังการสกัด



รูปที่ 4.22 ความสัมพันธ์ระหว่างองค์ประกอบของน้ำมันในรูป  $\%C_A$  กับ เปอร์เซ็นต์ของสารประกอบที่ถูกออกซิไดส์ (O.C.) ของ น้ำมันเตาใส่เบาภายหลังการสกัด